

Санкт-Петербургский государственный университет

*Кривороль Вячеслав Александрович*  
Выпускная квалификационная работа  
*Динамика равновесных флуктуаций в фермионных  
системах*

Уровень образования: бакалавриат  
Направление 03.03.02 "Физика"  
Образовательная программа СВ.5011.2016 "Физика"

Научный руководитель:  
профессор,  
кафедра статистической физики,  
д.ф-м.н. Налимов М. Ю.

Рецензент:  
профессор,  
кафедра физики высоких энергий  
и элементарных частиц,  
д.ф-м.н. Компаниец М.В.

Санкт-Петербург  
2020

## Оглавление

1. Введение . . . . .	3
2. Формализм временных функций Грина при конечной температуре . . . . .	6
3. О снятии регуляризации . . . . .	14
4. Заключение . . . . .	18
Приложение А. Вычисление некоторых диаграмм . . . . .	19
Приложение Б. Вычисление асимптотик первых членов тейлоровского разложения $I(\mathbf{p}, \omega)$ . . . . .	22
Список литературы . . . . .	27

## 1. Введение

В этой работе будем интересоваться динамикой равновесных флуктуаций, которая играет важную роль в различных задачах статистической физики, таких как теория сверхпроводимости, сверхтекучести, кинетики и так далее. Стандартно подход к исследованию динамики основан на феноменологической стохастической динамике [1], в которой диссипация вводится в систему посредством добавления в уравнения случайной силы, для которой обычно выбирается статистика типа “белого шума”. Однако сложность подхода состоит в правильном выборе, описывающим реальную физическую систему, одной из множества различных моделей, к которым относятся модели  $A$ ,  $B$ ,  $C$  . . . и прочие. К примеру, ранее считалось, что критическая динамика перехода в сверхтекучее состояние описывается моделями  $F$  или  $E$ , однако в последних работах есть указание на то, что правильной является наиболее простая модель  $A$  [2].

Однако можно развить альтернативный и, в некотором смысле, более прямой метод анализа динамики флуктуаций, основанный на микроскопической квантовой динамике. Этот метод носит название “временные функции Грина при конечной температуре”. В нем основным объектом изучения является  $T$ -произведение операторов квантового поля в гейзенберговском представлении, усредненных с некоторым статистическим оператором  $\hat{\rho}$ , характеризующим распределение системы в начальный момент времени. Если оператор  $\hat{\rho}$  характеризует некое неравновесное состояние, то такая функция Грина называется неравновесной, или, коротко, NEGF<sup>1</sup>. Если же статистический оператор характеризует равновесное состояние, то говорят о временных функциях Грина при конечной температуре (GF@FT<sup>2</sup>). Для нужд кинетической теории аппарат таких функций Грина был разработан в [3], диаграммная техника была предложена в [4]. При этом оказывается, что теория возмущений представляет из себя теорию поля на некотором комплексном контуре, что приводит к формальному увеличению количества полей, а, следовательно, и количеству пропагаторов, необходимых для описания. Преимущества техники Келдыша по сравнению с более стандартной техникой температурных функций Грина обсуждается в [5].

---

<sup>1</sup>Non-equilibrium Green function.

<sup>2</sup>Green function at finite temperature.

В частности, их огромным плюсом является возможность исследования систем, сколь угодно далеких от равновесия. Вычисления в этом формализме являются довольно громоздкими, однако в нем можно получить довольно интересные результаты. В рамках этого подхода только в недавнее время, например, и был сделан вывод в пользу модели  $A$  [2] для перехода в сверхтекучее состояние, на операторном языке построена кинетическая теория бозонного газа со слабым локальным взаимодействием [6], и даже найдены некоторые приложения к теории стохастических дифференциальных уравнений [7]. Хотя, конечно, этим и не ограничиваются все результаты, полученные в рамках NEGF.

Интересным является вопрос о том, каким образом в квантовых системах возникает механизм диссипации. Было установлено [6], что в диаграммной технике Келдыша — Швингера имеются необычные для квантово-полевой теории возмущений сингулярности, которые можно устранить, вводя в осциллирующие пропагаторы затухание с некоторым параметром диссипации  $\gamma$ , связанный с конечным временем жизни элементарных возбуждений. В этой же работе для построения ИК-эффективной теории было предложено из размерных соображений выбирать  $\gamma$  пропорциональным квадрату волнового числа. Такой выбор, однако, кажется неслучайным в силу того, что именно в таком виде появляется затухание в гидродинамических моделях [8]. Даже после снятия регуляризации, вследствие частичного суммирования изначально сингулярных вкладов, параметр затухания эффективно должен оставаться конечным из-за перенормировки. Ранее эти рассуждения применялись к бозонным системам, однако рассмотрение фермионной системы не будет принципиально отличаться.

Целью данной работы ставится установление факта наличия диссипации и создание “базы”, необходимой для вычисления параметра затухания в фермионной системе как функции её параметров, таких как температуры и химического потенциала, для модельного локального взаимодействия “плотность—плотность”, традиционно применяемую для описания фазового перехода в сверхпроводящее (сверхтекучее) состояние [9]. В дальнейших исследованиях хочется распространить анализ на другие типы взаимодействия, в том числе хочется понять, как ведут себя указанные необычные сингулярности при разных выборах потенциала. Так-же предполагается посмотреть в этих рамках на принципиально другие модели, в частности планируется модифицировать вычисления для их приложе-

ний к электронам в графене, так как на этом поле возможна экспериментальная проверка [10] в силу активного развития этой области физики.

В разделе 1 на языке функционального интеграла построена теория возмущений для функции Грина, обсуждаются некоторые особенности и расходимости диаграммной техники, а также их регуляризация. В разделе 2 рассматривается вопрос снятия регуляризации и связанной с ней перенормировки.

## 2. Формализм временных функций Грина при конечной температуре

В работе используется система единиц  $\hbar = k_B = 1$ , где  $\hbar$  — редуцированная постоянная Планка,  $k_B$  — постоянная Больцмана. Прямое и обратное преобразования Фурье определяются как:

$$f(\mathbf{p}) = \int d\mathbf{x} f(\mathbf{x}) e^{-i\mathbf{p}\mathbf{x}}, \quad f(\mathbf{x}) = \frac{1}{(2\pi)^3} \int d\mathbf{p} f(\mathbf{p}) e^{i\mathbf{p}\mathbf{x}}.$$

Преобразование Фурье по времени определяется с обратным знаком по отношению к координатному преобразованию в показателе экспоненты.

Будем рассматривать газ нерелятивистских фермионов со слабым локальным взаимодействием типа “плотность—плотность”, считая систему однородной и изотропной. Эта модель не только удобна в смысле теоретического описания, но и является неплохим приближением для описания электронов проводимости в металле в окрестности критической точки. Действительно, ввиду механизма экранировки [11] можно пренебречь кулоновским взаимодействием между электронами и учитывать лишь электрон-фононное взаимодействие. Учитывая, что основной вклад в проводимость дают электроны в узком слое вблизи поверхности Ферми [12; 13], возможно заменить электрон-фононное взаимодействие на локальное взаимодействие “плотность—плотность” [9] с некоторым потенциалом  $U(\mathbf{x} - \mathbf{y})$ . Предполагая несущественным микроскопическую структуру взаимодействия в окрестности критической точки [1], выберем  $U(\mathbf{x} - \mathbf{y}) = \lambda \delta(\mathbf{x} - \mathbf{y})$ , где  $\lambda$  может быть связана с экспериментально измеряемой амплитудой  $s$ -рассеяния. Стандартно, переход к полевому описанию многочастичных систем происходит с помощью перехода в так называемое “представление вторичного квантования” [14; 15]. Свободный нерелятивистский фермион удовлетворяет уравнению Шредингера

$$i\partial_t \Psi(\mathbf{x}, t) = \hat{H}_1 \Psi(\mathbf{x}, t), \quad \hat{H}_1 = \frac{\hat{\mathbf{p}}^2}{2m} - \mu, \quad (1)$$

где  $\mathbf{x}$  — трехмерная координата,  $\mu$  — химпотенциал,  $\hat{\mathbf{p}} = (-i\vec{\nabla})$  — оператор импульса,  $\vec{\nabla}$  — трехмерный градиент,  $m$  — масса фермиона. Энергия одночастич-

ного состояния есть

$$\varepsilon(\mathbf{p}) = \frac{\mathbf{p}^2}{2m} - \mu, \quad (2)$$

где трехмерный вектор  $\mathbf{p}$  есть собственное число оператора импульса. Операторы поля традиционно вводятся как

$$\hat{\Psi}(\mathbf{x}, t) = \sum_{\varepsilon} \Psi_{\varepsilon}(\mathbf{x}, t) \hat{a}_{\varepsilon}, \quad \hat{\Psi}^+(\mathbf{x}, t) = \sum_{\varepsilon} \Psi_{\varepsilon}^*(\mathbf{x}, t) \hat{a}_{\varepsilon}^+, \quad (3)$$

где  $\Psi_{\varepsilon}$  – волновая функция состояния с энергией  $\varepsilon$ ,  $\hat{a}_{\varepsilon}^+$  и  $\hat{a}_{\varepsilon}$  – операторы рождения и уничтожения состояния с энергией  $\varepsilon$  в фокковском пространстве. Значковая структура волновых функций, указывающая спиновое состояние, здесь и далее будет опущена. Гамильтониан полной системы должен выглядеть следующим образом:

$$\hat{H} = \int d\mathbf{x} \hat{\Psi}^+(\mathbf{x}, t) \hat{H}_1 \hat{\Psi}(\mathbf{x}, t) + \frac{g}{4} \int d\mathbf{x} \hat{\Psi}^+(\mathbf{x}, t) \hat{\Psi}(\mathbf{x}, t) \hat{\Psi}^+(\mathbf{x}, t) \hat{\Psi}(\mathbf{x}, t), \quad (4)$$

где  $g = 4\lambda$ . Здесь и далее сумма по опущенным спиновым значкам подразумевается.

К наиболее важным объектам квантовой динамики относится полная  $n$ -точечная функция Грина [7]

$$G = \text{Sp}(\text{T}[\hat{\Psi}(\mathbf{x}_n, t_n) \dots \hat{\Psi}(\mathbf{x}_2, t_2) \hat{\Psi}(\mathbf{x}_1, t_1)] \hat{\rho}), \quad (5)$$

где  $\text{Sp}$  – операция взятия следа,  $\hat{\rho}$  – статистический оператор, описывающий начальное распределение,  $\beta$  – обратная температура, квантовые поля рассматриваются в представлении Гейзенберга, то есть развиваются во времени в соответствии с эволюционным соотношением

$$\hat{\Psi}(\mathbf{x}, t_k) = e^{i\hat{H}(t_k - t_0)} \hat{\Psi}(\mathbf{x}) e^{-i\hat{H}(t_k - t_0)}, \quad k = 1, 2 \dots n, \quad (6)$$

где  $\hat{\Psi}(\mathbf{x})$  – оператор поля, не зависящий от времени и совпадающий с оператором поля в представлении Шредингера в момент  $t_0$ . Далее будем опускать процедуру T-упорядочивания, считая, что времена расставлены корректно, увеличиваясь,  $t_1 \leq t_2 \leq t_3 \leq \dots \leq t_n$ . Частным случаем (5), которым мы и будем в дальнейшем интересоваться, является временная функция Грина при конечной

температуре, которая соответствует выбору равновесного по большому каноническому ансамблю статистического оператора  $\hat{\rho}$ :

$$\hat{\rho} = \frac{\exp(-\beta\hat{H})}{\text{Sp} \exp(-\beta\hat{H})}. \quad (7)$$

В будущем такой выбор можно будет оправдать, считая, что начальные условия поставлены в бесконечно далеком прошлом.

Используя соображения, практически аналогичные доказательству формулы Фейнмана—Каца [16], можно показать, что временную функцию Грина при конечной температуре можно представить в виде функционального интеграла по грасмановым переменным:

$$G = \int \mathcal{D}\Psi \mathcal{D}\Psi^+ \Psi(\mathbf{x}_n, t_n) \Psi(\mathbf{x}_{n-1}, t_{n-1}) \dots \Psi(\mathbf{x}_1, t_1) e^{-S} \quad (8)$$

с действием

$$S = \int_{\gamma} dt \left[ \Psi^+(\mathbf{x}, t) (\partial_t + i\hat{H}_1) \Psi(\mathbf{x}, t) + \frac{ig}{4} \Psi^+(\mathbf{x}, t) \Psi(\mathbf{x}, t) \Psi^+(\mathbf{x}, t) \Psi(\mathbf{x}, t) \right], \quad (9)$$

где первое слагаемое в правой части формулы (9) будем называть действием свободной науки и обозначать  $S_0$ , второе слагаемое будем называть взаимодействием и обозначать  $S_{int}$ , пропущенное интегрирование по совпадающим координатным аргументам здесь и далее подразумевается. Контур  $\gamma$  в комплексной плоскости – так называемый контур Келдыша-Швингера [4; 7; 17]:

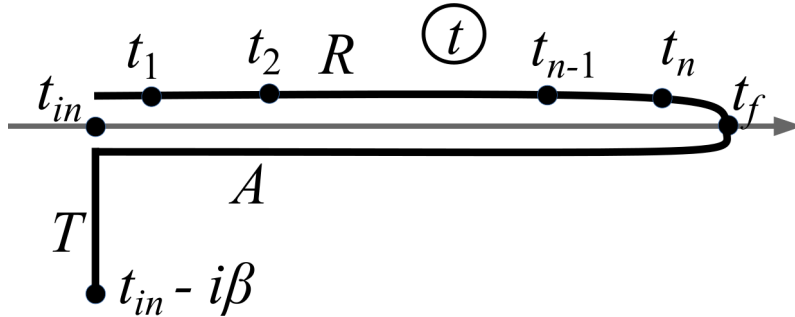


Рис. 1 Контур Келдыша-Швингера



Здесь  $t_{in}$  и  $t_f$  такие, что  $t_{in} = t_0 < t_1 < \dots < t_n < t_f$ , причем легко убедиться, что вычисляемое выражение (8) не зависит от выбора  $t_{in}$  и  $t_f$ . Интегрирование по данному контуру разбивается на интегрирование по трем прямолинейным участкам, каждому из которых будем соотносить индексы R, A, T, как указано на рис. 1. Полям  $\Psi$  и  $\Psi^+$ , интегрирующимся на некотором прямолинейном промежутке, будем приписывать индекс данного промежутка. Являются необходимыми следующие граничные условия на концах контура:

$$\Psi_R(t_f) = \Psi_A(t_f), \quad \Psi_A(t_{in}) = \Psi_T(t_{in}), \quad \Psi(t_{in}) = -\Psi(t_{in} - i\beta), \quad (10)$$

где первые два условия (10) есть следствие непрерывности полей на контуре Келдыша-Швингера, а третье — стандартное антисшивание фермионных полей, аналогичное теории температурных функций Грина [18].

Таким образом, в нашей модели имеется шесть полей:  $\Psi_R$ ,  $\Psi_A$ ,  $\Psi_T$  и сопряженные к ним. Далее встает вопрос о построении теории возмущений. Первым шагом всегда является вычисление матрицы пропагаторов  $G$ , которая в нашем случае есть матрица 6 на 6:

$$G = \begin{pmatrix} 0 & B \\ A & 0 \end{pmatrix}, \quad (11)$$

а блоки  $A$  и  $B$  есть, соответственно,

$$A = \begin{pmatrix} \langle \hat{\Psi}_R \hat{\Psi}_R^+ \rangle_0 & \langle \hat{\Psi}_R \hat{\Psi}_A^+ \rangle_0 & \langle \hat{\Psi}_R \hat{\Psi}_T^+ \rangle_0 \\ \langle \hat{\Psi}_A \hat{\Psi}_R^+ \rangle_0 & \langle \hat{\Psi}_A \hat{\Psi}_A^+ \rangle_0 & \langle \hat{\Psi}_A \hat{\Psi}_T^+ \rangle_0 \\ \langle \hat{\Psi}_T \hat{\Psi}_R^+ \rangle_0 & \langle \hat{\Psi}_T \hat{\Psi}_A^+ \rangle_0 & \langle \hat{\Psi}_T \hat{\Psi}_T^+ \rangle_0 \end{pmatrix}, \quad B = \begin{pmatrix} \langle \hat{\Psi}_R^+ \hat{\Psi}_R \rangle_0 & \langle \hat{\Psi}_R^+ \hat{\Psi}_A \rangle_0 & \langle \hat{\Psi}_R^+ \hat{\Psi}_T \rangle_0 \\ \langle \hat{\Psi}_A^+ \hat{\Psi}_R \rangle_0 & \langle \hat{\Psi}_A^+ \hat{\Psi}_A \rangle_0 & \langle \hat{\Psi}_A^+ \hat{\Psi}_T \rangle_0 \\ \langle \hat{\Psi}_T^+ \hat{\Psi}_R \rangle_0 & \langle \hat{\Psi}_T^+ \hat{\Psi}_A \rangle_0 & \langle \hat{\Psi}_T^+ \hat{\Psi}_T \rangle_0 \end{pmatrix}, \quad (12)$$

и  $\langle \dots \rangle_0$  обозначает усреднение соответствующих операторов поля с весом  $\exp(-S_0)$ . Определение матрицы пропагаторов для фермиевских систем дано в [18]. Нам достаточно определить элементы блока  $A$ , так как элементы блока  $B$  однозначно восстанавливаются из элементов блока  $A$  в силу коммутационных соотношений операторов поля. Введем обозначения

$$\langle \hat{\Psi}_i(\mathbf{x}, t) \hat{\Psi}_j^+(\mathbf{x}', t') \rangle_0 = G_{ij^+}(\mathbf{x}, \mathbf{x}', t, t'), \quad \hat{K} = (\partial_t + i\hat{H}_1). \quad (13)$$

Здесь и далее договоримся, что значки  $i, j \in \{R, A, T\}$ . Так как система предполагается однородной и изотропной, то пропагаторы в (13) на самом деле являются функциями разности пространственных аргументов, что позволяет везде, где это потребуется, переходить в Фурье-представление по переменной  $(\mathbf{x} - \mathbf{x}')$ .

Уравнения на пропагаторы из блока  $A$  формально можно записать как

$$\hat{K}A = \delta(t - t')\delta(\mathbf{x} - \mathbf{x}') \text{diag}\{1, -1, 1\}. \quad (14)$$

Подразумевается, что каждое из времен  $t$  и  $t'$  в аргументе пропагатора задано на соответствующем индексу своего поля участку контура. Решениями уравнений (14) с учетом граничных условий (10) в импульсно-временном представлении являются

$$G_{RR+} = (\theta(t - t') + C_{RR+})e^{-i\varepsilon(t-t')}, \quad (15)$$

$$G_{AA+} = (-\theta(t - t') + C_{AA+})e^{-i\varepsilon(t-t')}, \quad (16)$$

$$G_{TT+} = (\theta(t - t') + C_{TT+})e^{-i\varepsilon(t-t')}, \quad (17)$$

$$G_{ij+} = C_{ij+}e^{-i\varepsilon(t-t')}, \quad i \neq j, \quad (18)$$

где  $\theta(t - t')$  — функция Хевисайда, а константы  $C_{ij+}$  имеют вид

$$C_{RR+} = -n(\varepsilon), \quad C_{RA+} = n(-\varepsilon), \quad C_{RT+} = -n(\varepsilon),$$

$$C_{AR+} = n(-\varepsilon), \quad C_{AA+} = -n(-\varepsilon), \quad C_{AT+} = -n(\varepsilon),$$

$$C_{TR+} = n(-\varepsilon), \quad C_{TA+} = -n(-\varepsilon), \quad C_{TT+} = -n(\varepsilon).$$

Здесь использовано обозначение для среднего числа заселенности уровня с энергией  $\varepsilon$  в свободном ферми-газе:  $n(\varepsilon) = (e^{\beta\varepsilon} + 1)^{-1}$ . Перейдем к пределу  $t_{in} \rightarrow -\infty$ ,  $t_f \rightarrow +\infty$ , который будем называть *келдышевским предельным переходом*. После этого система становится однородной во времени, а начальное равновесное распределение оказывается заданным в бесконечно далеком прошлом.

Оказывается удобным сделать некоторую линейную замену полей в функциональном интеграле и перейти к новым переменным, которые будем называть *келдышевскими переменными*:

$$\xi = \frac{\Psi_R + \Psi_A}{\sqrt{2}}, \quad \eta = \frac{\Psi_R - \Psi_A}{\sqrt{2}}, \quad \xi^+ = \frac{\Psi_R^+ + \Psi_A^+}{\sqrt{2}}, \quad \eta^+ = \frac{\Psi_R^+ - \Psi_A^+}{\sqrt{2}}. \quad (19)$$

Пропагаторы, связанные с этими полями, имеют вид

$$G_{\eta\xi^+} = -e^{-i\varepsilon(t-t')}\theta(t' - t), \quad (20)$$

$$G_{\xi\eta^+} = e^{-i\varepsilon(t-t')}\theta(t - t'), \quad (21)$$

$$G_{\xi\xi^+} = e^{-i\varepsilon(t-t')}(1 - 2n(p)), \quad (22)$$

$$G_{\eta\eta^+} = 0. \quad (23)$$

Взаимодействие в келдышевских переменных будет иметь структуру

$$S_{int} = \frac{g}{4}(\xi^+\xi\xi^+\eta + \xi^+\xi\eta^+\xi + \xi^+\eta\xi^+\xi + \eta^+\xi\xi^+\xi), \quad (24)$$

необходимые интегрирования подразумеваются. Заканчивая построение теории возмущений, введем следующие правила диаграммной техники:

$$G_{\eta\xi^+} = \leftarrow \times, \quad G_{\xi\eta^+} = \rightarrow \times, \quad G_{\xi\xi^+} = \text{---} \times. \quad (25)$$

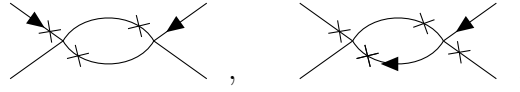
Обозначения введены таким образом, что крест на линии указывает на сопряженное поле, а стрелка показывает направление увеличения времени, в этом легко убедиться из вида (20-22). Из этих правил следуют некоторые важные свойства, относящиеся к структуре диаграмм.

- Из (24) следует, что в каждую вершину в диаграмме входит либо одна, либо три стрелки, и у вершины всегда стоит два креста.
- Из (20-21), аналогично диаграммной технике Уальда [19], следует, что любые диаграммы, содержащие замкнутые циклы из стрелок, тождественно равны нулю.

По принципу ослабления корреляций система через достаточно большой промежуток времени забывает свое начальное состояние, поэтому эффективно пропагаторы, связанные с полем с индексом T, выпадают из рассмотрения. В этом

можно непосредственно убедиться из вида пропагаторов (17-18), учитывая, что время, заданное на части контура с индексом  $\Gamma$  — чисто комплексное, а также принимая во внимание тот факт, что поля  $\xi$ ,  $\eta$  и их сопряженные не дают вклада в средние от “температурных” полей  $\psi_T$  и  $\psi_T^+$  [2].

Прямым суммированием можно показать, что в диаграммной технике произойдет сокращение всех ампутированных диаграмм типа “рыбка”, например



а также других диаграмм с аналогичной топологической структурой и всевозможной допустимой расстановкой линий (25). За счет этого свойства диаграммы такого вида не нужно будет учитывать при последующей ренормировке.

За счет осцилляций в (20-21), в данной диаграммной технике появляются необычные сингулярности. Рассмотрим для примера диаграмму в импульсном представлении:

$$\begin{aligned} \text{---} \times \left( \text{---} \times \text{---} \right) \text{---} &= \frac{-g^2}{16(2\pi)^6} \int d\mathbf{k} d\mathbf{q} e^{-i\varepsilon(\mathbf{k})(t-t')} (1 - 2n(\mathbf{k})) e^{-i\varepsilon(\mathbf{q})(t-t')} \times \\ &\times (1 - 2n(\mathbf{q})) e^{i\varepsilon(\mathbf{p}-\mathbf{k}-\mathbf{q})(t-t')} \theta(t-t'). \end{aligned} \quad (26)$$

Здесь и далее внешние хвосты диаграмм в импульсном представлении подразумеваются ампутированными. Используя теорему Сохоцкого, можно показать, что эта диаграмма на нулевых импульсах и частотах содержит в себе сингулярности:

$$\begin{aligned} \text{---} \times \left( \text{---} \times \text{---} \right) \text{---} \Big|_{\mathbf{p}=0, \omega=0} &= \frac{-g^2}{16(2\pi)^6} \int d\mathbf{k} d\mathbf{q} \left( \pi \delta(\varepsilon(\mathbf{k} + \mathbf{q}) - \varepsilon(\mathbf{k}) - \varepsilon(\mathbf{q})) + \right. \\ &\left. + i\mathcal{P} \left( \frac{1}{\varepsilon(\mathbf{k} + \mathbf{q}) - \varepsilon(\mathbf{k}) - \varepsilon(\mathbf{q})} \right) \right), \end{aligned} \quad (27)$$

где  $\mathcal{P}(\cdot)$  — обозначение для обобщенной функции “главное значение”. Этот интеграл расходится, и такого рода расходимости есть суть так называемые *пинчевы сингулярности* [8; 20]. Именно эти расходимости вызывают наибольший

интерес, так как для остальных, то есть для ультрафиолетовых и инфракрасных расходимостей уже хорошо разработаны способы их анализа [1]. Проблема пинчевых сингулярностей обсуждалась в работе [6]. Там переход к более регулярной теории было предложено осуществить с помощью формального введения в осциллирующие экспоненты, входящие во все ненулевые пропагаторы (20-21), затухания:

$$e^{-i\varepsilon(t-t')} \rightarrow e^{-i\varepsilon(t-t') - \gamma|t-t'|}, \quad (28)$$

где  $\gamma > 0$  – некоторый параметр затухания. Его можно рассматривать как некоторую функцию импульса  $\gamma = \gamma(\mathbf{p})$ . Так как обратное ядро квадратичной формы определяется свободным действием, то естественно, что после преобразования (28) изменится и сама квадратичная форма. Поэтому после регуляризации свободное действие будет выглядеть как

$$S_0 = \eta^+ (2\gamma(1 - 2n(\mathbf{p})))\eta + \xi^+ (\partial_t + i\varepsilon - \gamma)\eta + \eta^+ (\partial_t + i\varepsilon + \gamma)\xi. \quad (29)$$

### 3. О снятии регуляризации

После введение регуляризации (28) для перехода к исходной модели необходимо устремить параметр  $\gamma \rightarrow 0$ . Заметим, что из структуры действия (29) параметр  $\gamma$  будет входить в элементы обратной матрицы пропагаторов в уравнении Дайсона [18]:

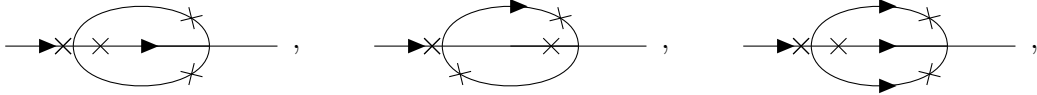
$$D^{-1} = K - \Sigma, \quad (30)$$

где  $D$  – матрица полных пропагаторов,  $K$  – матрица квадратичной формы,  $\Sigma$  – собственная энергия. Это означает, что если диаграммы, входящие в  $\Sigma$ , имеют нетривиальную вещественную асимптотику при  $\gamma \rightarrow 0$ , то это приведет к перенормировке параметра  $\gamma$ . Это можно увидеть, например, из вида следующего уравнения из системы (30):

$$D_{\eta+\xi}^{-1} = \partial_t + i\varepsilon + \gamma - \Sigma_{\eta+\xi}, \quad (31)$$

где  $D_{\eta+\xi}^{-1}$ ,  $\Sigma_{\eta+\xi}$  – матричные элементы обратной матрицы полных пропагаторов и свободной энергии соответственно. Из вида этого уравнения следует более явный физический смысл параметра  $\gamma$ . Действительно, вещественная добавка к члену  $i\varepsilon$  будет означать сдвиг полюсов функции Грина, которые имеют смысл спектра возбуждений [21]. Мнимая добавка в энергию естественно отвечает за затухание волновых функций соответствующих одночастичных возбуждений, а значит о  $\gamma$  действительно можно говорить как о параметре затухания.

Прямым вычислением можно показать, что ненулевой вклад в перенормировку в двух петлях будут давать только следующие диаграммы:



все пропагаторы в которых регуляризованы по правилу (28). Считаем, что регуляризованные пропагаторы имеют графические обозначения, совпадающие с (25). Условимся считать, что в координатно-временном представлении левые вершины имеют аргументы  $(\mathbf{x}, t)$  а правые  $(\mathbf{x}', t')$ . Сумму данных диаграмм в импульсно-частотном представлении будем обозначать как  $I(\mathbf{p}, \omega)$ , где  $\omega$  –

двойственная переменная в смысле Фурье к  $(t - t')$ . Переход к  $\omega$  возможен из-за того, что после келдышевского предельного перехода рассматриваемая система становится однородной по времени. Рассматривая крупномасштабное поведение, будем интересоваться пределом  $(\mathbf{x} - \mathbf{x}') \rightarrow \infty$ ,  $(t - t') \rightarrow \infty$ , или, что эквивалентно, пределом  $\mathbf{p} \rightarrow 0$ ,  $\omega \rightarrow 0$ . Ограничимся учетом лишь первых поправок к  $I(\mathbf{p} = 0, \omega = 0)$  по импульсу и частоте, то есть

$$I(\mathbf{p}, \omega) \approx I(\mathbf{p} = 0, \omega = 0) + \omega \cdot \left. \frac{\partial I(\mathbf{p} = 0, \omega)}{\partial \omega} \right|_{\omega=0} + \frac{p_\alpha p_\beta}{2!} \cdot \left. \frac{\partial^2 I(\mathbf{p}, \omega = 0)}{\partial p_\alpha \partial p_\beta} \right|_{\mathbf{p}=0}, \quad (32)$$

где  $p_\alpha$  –  $\alpha$ -ая компонента импульса  $\mathbf{p}$ , суммирование по повторяющимся значениям подразумевается. Учитывая отсутствие в системе выделенного направления, можно убедиться, что линейные по компонентам импульса члены разложения отсутствуют.

Так как импульсно-частотное представление оказывается не слишком удобным для вычислений, можно переписать (32), используя импульсно-временное представление. Действительно, используя определение преобразования Фурье по времени, нетрудно получить формулы

$$I(\mathbf{p} = 0, \omega = 0) = \int d(t - t') I(\mathbf{p} = 0, t - t'), \quad (33)$$

$$\left. \frac{\partial I(\mathbf{p} = 0, \omega)}{\partial \omega} \right|_{\omega=0} = \int d(t - t') I(\mathbf{p} = 0, t - t') \cdot (t - t'), \quad (34)$$

$$\left. \frac{\partial^2 I(\mathbf{p}, \omega = 0)}{\partial p_\alpha \partial p_\beta} \right|_{\mathbf{p}=0} = \int d(t - t') \left. \frac{\partial^2 I(\mathbf{p}, t - t')}{\partial p_\alpha \partial p_\beta} \right|_{\mathbf{p}=0}. \quad (35)$$

Для удобства будем условно называть слагаемые (33-35) нулевым, линейным по частоте и квадратичным по импульсу вкладками соответственно.

Ранее упоминалось, что  $\gamma$  можно рассматривать как некоторую функцию импульса. Выберем, для определенности,  $\gamma(\mathbf{p}) = \alpha \mathbf{p}^2 / 2m$ , где  $\alpha \rightarrow 0$  при снятии регуляризации. Данный выбор оправдывается тем, что похожим образом выглядит коэффициент затухания в гидродинамических моделях [8].

Напрямую вычисляя диаграммы (см. Приложение А), получим явные выражения для (33-35):

$$I(\mathbf{p} = 0, \omega = 0) = \frac{-g^2 m}{16(2\pi)^6} \int d\mathbf{k} d\mathbf{q} \frac{f(\mathbf{k}, \mathbf{q})}{i(\mathbf{k} \cdot \mathbf{q} + m\mu) - \alpha(\mathbf{k}^2 + \mathbf{k} \cdot \mathbf{q} + \mathbf{q}^2)}, \quad (36)$$

$$\left. \frac{\partial I(\mathbf{p} = 0, \omega)}{\partial \omega} \right|_{\omega=0} = \frac{-g^2 m^2}{16(2\pi)^6} \int d\mathbf{k} d\mathbf{q} \frac{f(\mathbf{k}, \mathbf{q})}{[i(\mathbf{k} \cdot \mathbf{q} + m\mu) - \alpha(\mathbf{k}^2 + \mathbf{k} \cdot \mathbf{q} + \mathbf{q}^2)]^2}, \quad (37)$$

в квадратичном слагаемом нужно также взять производные по компонентам импульса:

$$\begin{aligned} \left. \frac{\partial^2 I(\mathbf{p}, \omega = 0)}{\partial p_\alpha \partial p_\beta} \right|_{\mathbf{p}=0} &= \frac{-g^2 m}{16(2\pi)^6} \int d\mathbf{k} d\mathbf{q} \left( \frac{i \cdot \delta_{\alpha\beta} \cdot f(\mathbf{k}, \mathbf{q})}{[i(\mathbf{k} \cdot \mathbf{q} + m\mu) - \alpha(\mathbf{k}^2 + \mathbf{k} \cdot \mathbf{q} + \mathbf{q}^2)]^2} + \right. \\ &+ \frac{2}{3} \frac{\delta_{\alpha\beta} \cdot f(\mathbf{k}, \mathbf{q}) \cdot (\mathbf{k} + \mathbf{q})^2}{[i(\mathbf{k} \cdot \mathbf{q} + m\mu) - \alpha(\mathbf{k}^2 + \mathbf{k} \cdot \mathbf{q} + \mathbf{q}^2)]^3} + \frac{\partial_{p_\alpha} \partial_{p_\beta} f(\mathbf{P}, \mathbf{k}, \mathbf{q})|_{\mathbf{P}=0}}{i(\mathbf{k} \cdot \mathbf{q} + m\mu) - \alpha(\mathbf{k}^2 + \mathbf{k} \cdot \mathbf{q} + \mathbf{q}^2)} - \\ &\left. - \frac{2i \cdot (\mathbf{k}_\beta + \mathbf{q}_\beta) \cdot \partial_{p_\alpha} f(\mathbf{P}, \mathbf{k}, \mathbf{q})|_{\mathbf{P}=0}}{[i(\mathbf{k} \cdot \mathbf{q} + m\mu) - \alpha(\mathbf{k}^2 + \mathbf{k} \cdot \mathbf{q} + \mathbf{q}^2)]^2} \right), \quad (38) \end{aligned}$$

где  $f(\mathbf{P}, \mathbf{k}, \mathbf{q}) = 4n(\mathbf{k})n(\mathbf{q}) + 4n(\mathbf{P} - \mathbf{k} - \mathbf{q}) - 8n(\mathbf{k})n(\mathbf{P} - \mathbf{k} - \mathbf{q})$ ,  $f(\mathbf{k}, \mathbf{q}) = f(\mathbf{P}, \mathbf{k}, \mathbf{q})|_{\mathbf{P}=0}$ , а все производные по компонентам импульса в явном виде указаны в Приложении А. Из соображений симметрии под знаком интеграла в (38) можно заменить все выражения вида  $(\mathbf{k}_\alpha + \mathbf{q}_\alpha) \cdot (\mathbf{k}_\beta + \mathbf{q}_\beta)$  на  $\delta_{\alpha\beta}/3 \cdot (\mathbf{k} + \mathbf{q})^2$ .

Из-за сдвига полюсов в комплексную плоскость можно видеть, что для  $\alpha \neq 0$  все интегралы являются сходящимися. Стоит заметить, что вещественная часть вклада (38) возникает вследствие введения регуляризации (28), так как интегралы в этом выражении при  $\alpha = 0$  не содержат вещественной части, а именно она ответственна за перенормировку параметра диссипации  $\gamma$  в уравнении (31).

Здесь асимптотический анализ довольно сложен и нетривиален, так как интегралы демонстрируют крайне неравномерное поведение по параметру  $\alpha$ . Идея вычислительной схемы состоит в том, чтобы преобразовать (36-38) таким образом, чтобы после перехода  $\alpha \rightarrow 0$  в подынтегральном выражении сами интегралы остались сходящимися. С этой точки зрения (36-37) представляют интерес не только как поправки теории возмущений, но и как более простые по отношению к (38) примеры, на основании которых можно разработать ме-



тодологию вычисления асимптотик. Целесообразно также исследовать предел  $\alpha \rightarrow 0$  в отдельности для вещественной и мнимой части каждого из выражений (36-38). Это связано с тем, что, как видно из уравнения (31),  $\text{Re}\Sigma_{\eta+\xi}$  и  $\text{Im}\Sigma_{\eta+\xi}$  дают ренормировку разных параметров.

Учитывая вышесказанное, данные трудности могут быть преодолены. В этой работе был непосредственно вычислен вклад (36) (см. Приложение В), ответы для вещественной и мнимой части даются выражениями

$$\text{Re}I_0 = \frac{-g^2 m}{512\pi^3} \int_0^\pi d\theta \sin \theta \int_0^\infty dU \int_{2m\mu-U}^{\frac{U}{3}+2m\mu} dT \partial_T (F_1(T, U, \theta)) \cdot \text{sign}(T), \quad (39)$$

$$\text{Im}I_0 = \frac{-g^2 m}{512\pi^4} \int_0^\pi d\theta \sin \theta \int_0^\infty dU \int_{2m\mu-U}^{\frac{U}{3}+2m\mu} dT \partial_T (F_1(T, U, \theta)) \cdot \ln(T^2), \quad (40)$$

где  $F_1(U, T, \theta) = \sqrt{U - 3T + 6m\mu} \cdot \sqrt{T + U - 2m\mu} f(U, T, \theta)$ .

Также удалось вычислить мнимую часть вклада (37) при  $\alpha \rightarrow 0$ , которая также является константой при данных  $\mu$  и  $\beta$ , хоть и итоговое выражение является довольно громоздким (см. Приложение В). Вклад (38) удалось существенно упростить для анализа, его полное вычисление планируется представить в следующих работах.

Заметим, что в (38) входит слагаемое, с точностью до мнимой единицы в числителе и константных множителей совпадающее с (37). Так как было выяснено, что мнимая часть линейного по частотам вклада является константой при  $\alpha \rightarrow 0$ , то вещественная часть аналогичного выражения в квадратичном по импульсу вкладе также будет иметь константную асимптотику. Это, как уже упоминалось, заведомо будет означать о существовании в системе затухания, что является довольно интересным результатом.

## 4. Заключение

Была построена диаграммная техника для  $n$ -точечной временной функции Грина при конечной температуре в модели фермионного газа со слабым локальным взаимодействием, были выявлены некоторые специфические особенности этой теории. Путем вычисления соответствующих диаграмм были найдены явные выражения, асимптотика  $\alpha \rightarrow 0$  которых дает вклад в перенормировку параметров теории, а так-же в параметр затухания. Вычисление асимптоки вклада нулевых импульсов и частот, а также мнимой части линейного по частотам вклада, было проведено в явном виде. Установлено наличие затухания в данной системе. В последующих работах предполагается усовершенствовать схему, предложенную здесь применительно к нулевому и линейному по частоте вкладам, для взятия предела в (38), найти параметр затухания  $\gamma$  как функцию химического потенциала и температуры, а также обобщить наши рассуждения на случай других потенциалов межчастичного взаимодействия и на модель электронов в графене.

## Приложение А

### Вычисление некоторых диаграмм

Вычислим основные диаграммы, дающие вклад в ренормировку в двух-петлевом приближении. В этом разделе введем обозначение  $\tau = (t - t')$ .

Вклад нулевых импульсов и частот:

$$\begin{aligned}
 & \left. \begin{array}{c} \text{Diagram 1: A horizontal line with an incoming arrow from the left. It enters a loop. The top arc of the loop has an arrow pointing right. The bottom arc has an arrow pointing left. There are two vertices marked with 'x' on the horizontal line inside the loop. The line exits the loop to the right. } \end{array} \right|_{\mathbf{p}, \omega=0} = \frac{-g^2}{16(2\pi)^6} \int_0^\infty d\tau \int d\mathbf{k} d\mathbf{q} (1 - 2n(\mathbf{k})) (1 - 2n(\mathbf{q})) \times \\
 & \times \exp \left( i\tau (\varepsilon(\mathbf{k} + \mathbf{q}) - \varepsilon(\mathbf{k}) - \varepsilon(\mathbf{q})) - |\tau| (\gamma(\mathbf{k}) + \gamma(\mathbf{q}) + \gamma(\mathbf{k} + \mathbf{q})) \right) = \\
 & = \frac{-g^2}{16(2\pi)^6} \int d\mathbf{k} d\mathbf{q} \frac{(1 - 2n(\mathbf{k})) (1 - 2n(\mathbf{q}))}{i \left( \frac{\mathbf{k} \cdot \mathbf{q}}{m} + \mu \right) - \gamma(\mathbf{k}) - \gamma(\mathbf{q}) - \gamma(\mathbf{k} + \mathbf{q})}. \quad (41)
 \end{aligned}$$

$$\begin{aligned}
 & \left. \begin{array}{c} \text{Diagram 2: A horizontal line with an incoming arrow from the left. It enters a loop. The top arc of the loop has an arrow pointing right. The bottom arc has an arrow pointing right. There are two vertices marked with 'x' on the horizontal line inside the loop. The line exits the loop to the right. } \end{array} \right|_{\mathbf{p}, \omega=0} = \frac{g^2}{8(2\pi)^6} \int_0^\infty d\tau \int d\mathbf{k} d\mathbf{q} (1 - 2n(\mathbf{k})) (1 - 2n(\mathbf{k} + \mathbf{q})) \times \\
 & \times \exp \left( i\tau (\varepsilon(\mathbf{k} + \mathbf{q}) - \varepsilon(\mathbf{k}) - \varepsilon(\mathbf{q})) - |\tau| (\gamma(\mathbf{k}) + \gamma(\mathbf{q}) + \gamma(\mathbf{k} + \mathbf{q})) \right) = \\
 & = \frac{g^2}{8(2\pi)^6} \int d\mathbf{k} d\mathbf{q} \frac{(1 - 2n(\mathbf{k})) (1 - 2n(\mathbf{k} + \mathbf{q}))}{i \left( \frac{\mathbf{k} \cdot \mathbf{q}}{m} + \mu \right) - \gamma(\mathbf{k}) - \gamma(\mathbf{q}) - \gamma(\mathbf{k} + \mathbf{q})}. \quad (42)
 \end{aligned}$$

$$\begin{aligned}
 & \left. \begin{array}{c} \text{Diagram 3: A horizontal line with an incoming arrow from the left. It enters a loop. The top arc of the loop has an arrow pointing right. The bottom arc has an arrow pointing left. There are two vertices marked with 'x' on the horizontal line inside the loop. The line exits the loop to the right. } \end{array} \right|_{\mathbf{p}, \omega=0} = \frac{-g^2}{16(2\pi)^6} \int_0^\infty d\tau \int d\mathbf{k} d\mathbf{q} \exp \left( i\tau (\varepsilon(\mathbf{k} + \mathbf{q}) - \varepsilon(\mathbf{k}) - \varepsilon(\mathbf{q})) \right) \times \\
 & \times \exp \left( -|\tau| (\gamma(\mathbf{k}) + \gamma(\mathbf{q}) + \gamma(\mathbf{k} + \mathbf{q})) \right) = \\
 & = \frac{-g^2}{16(2\pi)^6} \int d\mathbf{k} d\mathbf{q} \frac{1}{i \left( \frac{\mathbf{k} \cdot \mathbf{q}}{m} + \mu \right) - \gamma(\mathbf{k}) - \gamma(\mathbf{q}) - \gamma(\mathbf{k} + \mathbf{q})}. \quad (43)
 \end{aligned}$$

Сумма этих диаграмм при учете явного вида  $\gamma$  дает выражение (36).

Линейный по частоте вклад. Коэффициенты при линейном члене разложения диаграммы по частоте с нулевым импульсом будем обозначать как исходную диаграмму в скобках  $[\cdot]_\omega$ .

$$\begin{aligned}
\left[ \text{---} \times \left( \text{---} \times \text{---} \right) \times \text{---} \right]_\omega &= \frac{-g^2}{16(2\pi)^6} \int_0^\infty d\tau \int d\mathbf{k}d\mathbf{q} \tau (1 - 2n(\mathbf{k})) (1 - 2n(\mathbf{q})) \times \\
&\times \exp \left( i\tau (\varepsilon(\mathbf{k} + \mathbf{q}) - \varepsilon(\mathbf{k}) - \varepsilon(\mathbf{q})) - |\tau| (\gamma(\mathbf{k}) + \gamma(\mathbf{q}) + \gamma(\mathbf{k} + \mathbf{q})) \right) = \\
&= \frac{-g^2}{16(2\pi)^6} \int d\mathbf{k}d\mathbf{q} \frac{(1 - 2n(\mathbf{k})) (1 - 2n(\mathbf{q}))}{\left[ i \left( \frac{\mathbf{k} \cdot \mathbf{q}}{m} + \mu \right) - \gamma(\mathbf{k}) - \gamma(\mathbf{q}) - \gamma(\mathbf{k} + \mathbf{q}) \right]^2}. \tag{44}
\end{aligned}$$

$$\begin{aligned}
\left[ \text{---} \times \left( \text{---} \times \text{---} \right) \times \text{---} \right]_\omega &= \frac{g^2}{8(2\pi)^6} \int_0^\infty d\tau \int d\mathbf{k}d\mathbf{q} \tau (1 - 2n(\mathbf{k})) (1 - 2n(\mathbf{k} + \mathbf{q})) \times \\
&\times \exp \left( i\tau (\varepsilon(\mathbf{k} + \mathbf{q}) - \varepsilon(\mathbf{k}) - \varepsilon(\mathbf{q})) - |\tau| (\gamma(\mathbf{k}) + \gamma(\mathbf{q}) + \gamma(\mathbf{k} + \mathbf{q})) \right) = \\
&= \frac{g^2}{8(2\pi)^6} \int d\mathbf{k}d\mathbf{q} \frac{(1 - 2n(\mathbf{k})) (1 - 2n(\mathbf{k} + \mathbf{q}))}{\left[ i \left( \frac{\mathbf{k} \cdot \mathbf{q}}{m} + \mu \right) - \gamma(\mathbf{k}) - \gamma(\mathbf{q}) - \gamma(\mathbf{k} + \mathbf{q}) \right]^2}. \tag{45}
\end{aligned}$$

$$\begin{aligned}
\left[ \text{---} \times \left( \text{---} \times \text{---} \right) \times \text{---} \right]_\omega &= \frac{-g^2}{16(2\pi)^6} \int_0^\infty d\tau \int d\mathbf{k}d\mathbf{q} \tau \times \\
&\times \exp \left( i\tau (\varepsilon(\mathbf{k} + \mathbf{q}) - \varepsilon(\mathbf{k}) - \varepsilon(\mathbf{q})) - |\tau| (\gamma(\mathbf{k}) + \gamma(\mathbf{q}) + \gamma(\mathbf{k} + \mathbf{q})) \right) = \\
&= \frac{-g^2}{16(2\pi)^6} \int d\mathbf{k}d\mathbf{q} \frac{1}{i \left( \frac{\mathbf{k} \cdot \mathbf{q}}{m} + \mu \right) - \gamma(\mathbf{k}) - \gamma(\mathbf{q}) - \gamma(\mathbf{k} + \mathbf{q})}. \tag{46}
\end{aligned}$$

Суммируя эти вклады, получаем формулу (37).

Квадратичный по импульсу вклад.

$$\begin{aligned}
& \left[ \text{Diagram 1} \right]_{\omega=0} + \left[ \text{Diagram 2} \right]_{\omega=0} + \left[ \text{Diagram 3} \right]_{\omega=0} = \\
& = \frac{-g^2}{16(2\pi)^6} \int d\mathbf{k}d\mathbf{q} \frac{4n(\mathbf{k})n(\mathbf{q}) + 4n(\mathbf{P} - \mathbf{k} - \mathbf{q}) - 8n(\mathbf{k})n(\mathbf{P} - \mathbf{k} - \mathbf{q})}{i(\varepsilon(\mathbf{p} - \mathbf{k} + \mathbf{q}) - \varepsilon(\mathbf{k}) - \varepsilon(\mathbf{q})) - \gamma(\mathbf{k}) - \gamma(\mathbf{q}) - \gamma(\mathbf{P} - \mathbf{k} - \mathbf{q})}.
\end{aligned} \tag{47}$$

Дифференцируя это выражение по  $p_\alpha$  и  $p_\beta$ , полагая  $\mathbf{p} = 0$  и пренебрегая  $\alpha$  по сравнению с  $i$  в числителе (это можно сделать в силу того, что интегралы останутся сходящимися), получим:

$$\begin{aligned}
& \left. \frac{\partial^2 I(\mathbf{p}, \omega = 0)}{\partial p_\alpha \partial p_\beta} \right|_{\mathbf{p}=0} = \frac{-g^2 m}{16(2\pi)^6} \int d\mathbf{k}d\mathbf{q} \left( \frac{i \cdot \delta_{\alpha\beta} \cdot f(\mathbf{k}, \mathbf{q})}{[i(\mathbf{k} \cdot \mathbf{q} + m\mu) - \alpha(\mathbf{k}^2 + \mathbf{k} \cdot \mathbf{q} + \mathbf{q}^2)]^2} + \right. \\
& + 2 \frac{(\mathbf{k}_\alpha + \mathbf{q}_\alpha) \cdot (\mathbf{k}_\beta + \mathbf{q}_\beta) \cdot f(\mathbf{k}, \mathbf{q})}{[i(\mathbf{k} \cdot \mathbf{q} + m\mu) - \alpha(\mathbf{k}^2 + \mathbf{k} \cdot \mathbf{q} + \mathbf{q}^2)]^3} + \frac{\partial_{p_\alpha} \partial_{p_\beta} f(\mathbf{P}, \mathbf{k}, \mathbf{q})|_{\mathbf{P}=0}}{i(\mathbf{k} \cdot \mathbf{q} + m\mu) - \alpha(\mathbf{k}^2 + \mathbf{k} \cdot \mathbf{q} + \mathbf{q}^2)} - \\
& \left. - \frac{2i \cdot (\mathbf{k}_\beta + \mathbf{q}_\beta) \cdot \partial_{p_\alpha} f(\mathbf{P}, \mathbf{k}, \mathbf{q})|_{\mathbf{P}=0}}{[i(\mathbf{k} \cdot \mathbf{q} + m\mu) - \alpha(\mathbf{k}^2 + \mathbf{k} \cdot \mathbf{q} + \mathbf{q}^2)]^2} \right).
\end{aligned} \tag{48}$$

Здесь

$$\begin{aligned}
& f(\mathbf{P}, \mathbf{k}, \mathbf{q}) = 4n(\mathbf{k})n(\mathbf{q}) + 4n(\mathbf{P} - \mathbf{k} - \mathbf{q}) - 8n(\mathbf{k})n(\mathbf{P} - \mathbf{k} - \mathbf{q}), \\
& \partial_{p_\alpha} f(\mathbf{P}, \mathbf{k}, \mathbf{q})|_{\mathbf{P}=0} = \frac{4\beta(\mathbf{k}_\alpha + \mathbf{q}_\alpha)e^{\beta\varepsilon(\mathbf{k}+\mathbf{q})}}{m(e^{\beta\varepsilon(\mathbf{k}+\mathbf{q})} + 1)^2} \left( \frac{2}{e^{\beta\varepsilon(\mathbf{k})} + 1} - 1 \right), \\
& \partial_{p_\alpha} \partial_{p_\beta} f(\mathbf{P}, \mathbf{k}, \mathbf{q})|_{\mathbf{P}=0} = \frac{-16\beta^2(\mathbf{k}_\alpha + \mathbf{q}_\alpha)(\mathbf{k}_\beta + \mathbf{q}_\beta)(e^{\beta\varepsilon(\mathbf{k}+\mathbf{q})})^2}{m^2(e^{\beta\varepsilon(\mathbf{k}+\mathbf{q})} + 1)^3 e^{\beta\varepsilon(\mathbf{k})}} + \\
& + \frac{8\beta^2(\mathbf{k}_\alpha + \mathbf{q}_\alpha)(\mathbf{k}_\beta + \mathbf{q}_\beta)e^{\beta\varepsilon(\mathbf{k}+\mathbf{q})}}{m^2(e^{\beta\varepsilon(\mathbf{k}+\mathbf{q})} + 1)^2 e^{\beta\varepsilon(\mathbf{k})}} + \frac{8\beta^2(\mathbf{k}_\alpha + \mathbf{q}_\alpha)(\mathbf{k}_\beta + \mathbf{q}_\beta)(e^{\beta\varepsilon(\mathbf{k}+\mathbf{q})})^2}{m^2(e^{\beta\varepsilon(\mathbf{k}+\mathbf{q})} + 1)^3} - \\
& - \frac{4\beta e^{\beta\varepsilon(\mathbf{k}+\mathbf{q})}}{m(e^{\beta\varepsilon(\mathbf{k}+\mathbf{q})} + 1)^2} - \frac{4\beta^2(\mathbf{k}_\alpha + \mathbf{q}_\alpha)(\mathbf{k}_\beta + \mathbf{q}_\beta)e^{\beta\varepsilon(\mathbf{k}+\mathbf{q})}}{m^2(e^{\beta\varepsilon(\mathbf{k}+\mathbf{q})} + 1)^3} + \frac{8\beta(e^{\beta\varepsilon(\mathbf{k}+\mathbf{q})})^2}{m(e^{\beta\varepsilon(\mathbf{k}+\mathbf{q})} + 1)^2 e^{\beta\varepsilon(\mathbf{k})}}.
\end{aligned}$$

Учитывая симметрию слагаемых в подынтегральном выражении, под знаком интеграла можно заменить  $(\mathbf{k}_\alpha + \mathbf{q}_\alpha) \cdot (\mathbf{k}_\beta + \mathbf{q}_\beta)$  на  $\delta_{\alpha\beta}/3 \cdot (\mathbf{k} + \mathbf{q})^2$ , тем самым получая формулу (38).

## Приложение Б

### Вычисление асимптотик первых членов тейлоровского разложения $I(\mathbf{p}, \omega)$

Поставим задачу о вычислении асимптотики вещественных и мнимых частей выражения (36) при  $\alpha \rightarrow 0$ . Так как подбор правильной последовательности действий для взятия предела для (36-38) является довольно сложной задачей, имеет смысл привести подробные вычисления. Исходное выражение:

$$I_0 = \frac{-g^2 m}{16(2\pi)^6} \int d\mathbf{k} d\mathbf{q} \frac{f(\mathbf{k}, \mathbf{q})}{i(\mathbf{k} \cdot \mathbf{q} + m\mu) - \alpha(\mathbf{k}^2 + \mathbf{k} \cdot \mathbf{q} + \mathbf{q}^2)}. \quad (49)$$

Здесь для краткости введено обозначение  $I(\mathbf{p} = 0, \omega = 0) = I_0$ . На первый взгляд при  $\alpha \rightarrow 0$  (если положить  $\alpha = 0$  в подынтегральном выражении, интеграл имеет логарифмическую особенность) это выражение должно расходиться, однако дальнейший анализ показывает, что подобные интуитивные выводы оказываются неверными.

Первое упрощение состоит в том, что можно избавиться от объектов, представляющих собой скалярное произведение двух разных векторов. Для этого произведем замену переменных единичного якобиана  $\mathbf{k} = 1/\sqrt{2} \cdot (\mathbf{x} + \mathbf{y})$ ,  $\mathbf{q} = 1/\sqrt{2} \cdot (\mathbf{x} - \mathbf{y})$ . При этом  $\mathbf{k} \cdot \mathbf{q} \rightarrow 1/2 \cdot (\mathbf{x}^2 - \mathbf{y}^2)$ ,  $(\mathbf{k}^2 + \mathbf{k} \cdot \mathbf{q} + \mathbf{q}^2) \rightarrow 1/2 \cdot (3\mathbf{x}^2 + \mathbf{y}^2)$ . В соответствии с этим

$$I_0 = \frac{-g^2 m}{8(2\pi)^6} \int d\mathbf{x} d\mathbf{y} \frac{f(\mathbf{x}, \mathbf{y})}{i(\mathbf{x}^2 - \mathbf{y}^2 + 2m\mu) - \alpha(3\mathbf{x}^2 + \mathbf{y}^2)}. \quad (50)$$

Здесь и далее условимся, что функцию  $f$  после преобразования координат будем обозначать той-же буквой, фиксируя изменения заменой старых аргументов на новые. Сейчас, например,  $f(\mathbf{k}, \mathbf{q}) \rightarrow f(\mathbf{x}, \mathbf{y})$ . Учитывая, что знаменатель зависит от модулей  $\mathbf{x}$  и  $\mathbf{y}$ , но не от их направления, имеет смысл перейти в сферические координаты. Полностью, однако, от угловых зависимостей избавиться на этом этапе нельзя, так как можно убедиться, что  $f(\mathbf{k}, \mathbf{q})$  зависит от угла между  $\mathbf{x}$  и  $\mathbf{y}$ , который будем обозначать  $\theta$ . Снимая другие интегралы в сферических

координатах, получаем:

$$I_0 = \frac{-g^2 m}{64\pi^4} \int_0^\pi d\theta \sin \theta \int_0^\infty \int_0^\infty dx dy \frac{x^2 y^2 f(x, y, \theta)}{i(x^2 - y^2 + 2m\mu) - \alpha(3x^2 + y^2)}. \quad (51)$$

Далее удобно сделать замену  $x^2 = t$ ,  $y^2 = s$ , а также явно выделить вещественную и мнимую части. После этого

$$\operatorname{Re} I_0 = \frac{g^2 m}{256\pi^4} \int_0^\pi d\theta \sin \theta \int_0^\infty \int_0^\infty dt ds \frac{\sqrt{t}\sqrt{s} f(t, s, \theta) \cdot \alpha(3t + s)}{(t - s + 2m\mu)^2 + \alpha^2(3t + s)^2}, \quad (52)$$

$$\operatorname{Im} I_0 = \frac{g^2 m}{256\pi^4} \int_0^\pi d\theta \sin \theta \int_0^\infty \int_0^\infty dt ds \frac{\sqrt{t}\sqrt{s} f(t, s, \theta) \cdot (t - s + 2m\mu)}{(t - s + 2m\mu)^2 + \alpha^2(3t + s)^2}. \quad (53)$$

Далее сделаем замену  $3t + s = U$ ,  $t - s + 2m\mu = T$ .

Вводя обозначение  $\sqrt{U - 3T + 6m\mu}\sqrt{T + U - 2m\mu} f(U, T, \theta) = F_1(U, T, \theta)$ , получим:

$$\operatorname{Re} I_0 = \frac{g^2 m}{256\pi^4} \int_0^\pi d\theta \sin \theta \int_0^\infty dU \int_{2m\mu - U}^{\frac{U}{3} + 2m\mu} dT \frac{F_1(U, T, \theta) \cdot \alpha U}{T^2 + \alpha^2 U^2}, \quad (54)$$

$$\operatorname{Im} I_0 = \frac{g^2 m}{256\pi^4} \int_0^\pi d\theta \sin \theta \int_0^\infty dU \int_{2m\mu - U}^{\frac{U}{3} + 2m\mu} dT \frac{F_1(U, T, \theta) \cdot T}{T^2 + \alpha^2 U^2}. \quad (55)$$

До этого местом всех проблем являлась окрестность точки  $T = 0$ , так как при  $\alpha \rightarrow 0$  в ней подынтегральное выражение становится сингулярным. Однако в этих переменных хорошо видно, как это можно обойти. Тот факт, что первообразная функции  $(T^2 + \alpha^2 U^2)^{-1}$  по переменной  $T$  уже не является сингулярной, наталкивает на мысль, что в выражениях (54-55) выгодно применить интегри-

рование по частям:

$$\operatorname{Re}I_0 = \frac{-g^2 m}{256\pi^4} \int_0^\pi d\theta \sin\theta \int_0^\infty dU \int_{2m\mu-U}^{\frac{U}{3}+2m\mu} dT \partial_T(F_1(T,U,\theta)) \cdot \arctan\left(\frac{T}{\alpha U}\right), \quad (56)$$

$$\operatorname{Im}I_0 = \frac{-g^2 m}{512\pi^4} \int_0^\pi d\theta \sin\theta \int_0^\infty dU \int_{2m\mu-U}^{\frac{U}{3}+2m\mu} dT \partial_T(F_1(T,U,\theta)) \cdot \ln(\alpha^2 U^2 + T^2). \quad (57)$$

В этих выражениях, что и было целью всех преобразований, уже можно совершить переход  $\alpha \rightarrow 0$ , который не приведет к плохо определяемым выражениям, так как  $\arctan\left(\frac{T}{\alpha U}\right) \rightarrow \pi/2 \cdot \operatorname{sign}(T)$ , где  $\operatorname{sign}(\cdot)$  — функция знака, а логарифм интегрируем в нуле. Итого, окончательный ответ для асимптотики  $I_0$  будет выглядеть как:

$$\operatorname{Re}I_0 = \frac{-g^2 m}{512\pi^3} \int_0^\pi d\theta \sin\theta \int_0^\infty dU \int_{2m\mu-U}^{\frac{U}{3}+2m\mu} dT \partial_T(F_1(T,U,\theta)) \cdot \operatorname{sign}(T), \quad (58)$$

$$\operatorname{Im}I_0 = \frac{-g^2 m}{512\pi^4} \int_0^\pi d\theta \sin\theta \int_0^\infty dU \int_{2m\mu-U}^{\frac{U}{3}+2m\mu} dT \partial_T(F_1(T,U,\theta)) \cdot \ln(T^2). \quad (59)$$

Ввиду громоздкости подынтегральных выражений, аналитическое взятие этих интегралов не представляется возможным, поэтому единственным способом их исследования является численные методы. Несложно показать, что (58-59) являются функциями единого безразмерного параметра отношения химического потенциала к температуре:  $\operatorname{Re}I_0(\beta\mu)$ ,  $\operatorname{Im}I_0(\beta\mu)$ .

Проблему взятия предела для линейного по частотам и квадратичного по импульсам вклада можно сформулировать как исследование интегралов, похожим по структуре на (54-55). Например, для линейного по частотам вклада в переменных  $U$  и  $T$  можно написать, проводя аналогичные случаю  $I_0$  вычисле-



ния:

$$\operatorname{Re} \frac{\partial I(\mathbf{p} = 0, \omega)}{\partial \omega} \Big|_{\omega=0} = \frac{g^2 m^2}{128 \pi^4} \int_0^\pi d\theta \sin \theta \int_0^\infty dU \int_{2m\mu-U}^{\frac{U}{3}+2m\mu} dT \frac{F_1(U, T, \theta) (\alpha^2 U^2 - T^2)}{[T^2 + \alpha^2 U^2]^2}, \quad (60)$$

$$\operatorname{Im} \frac{\partial I(\mathbf{p} = 0, \omega)}{\partial \omega} \Big|_{\omega=0} = \frac{g^2 m^2}{64 \pi^4} \int_0^\pi d\theta \sin \theta \int_0^\infty dU \int_{2m\mu-U}^{\frac{U}{3}+2m\mu} dT \frac{F_1(U, T, \theta) \alpha T U}{[T^2 + \alpha^2 U^2]^2}. \quad (61)$$

Для мнимой части линейного вклада предел удалось сосчитать явно. Выражение для него приведено на следующей странице. Оказывается, что в этом случае можно также провести всего одно интегрирование по частям, так как после этого происходит удачное сокращение полюса, что и позволяет сразу перейти к пределу. Для удобства ответ приведен в переменных  $t$  и  $s$ .

$$\begin{aligned}
\text{Im} \frac{\partial I(\mathbf{p} = 0, \omega)}{\partial \omega} \Big|_{\omega=0} &= \frac{3g^2 m^2}{16(2\pi)^6} \int_0^\pi d\theta \sin \theta \int_0^\infty \int_0^\infty ds dt \pi \sqrt{s} \text{sign}(2m\mu + s - t) \times \\
&\times \left( \left( \frac{s^{\frac{3}{2}} \sqrt{t} \beta \cos \theta}{2} + \frac{t^{\frac{3}{2}} \sqrt{s} \beta \cos \theta}{6} - \frac{t^2 \beta}{6} - tm - \frac{t\beta s}{6} - ms \right) e^{-\frac{\beta}{4m}(2\sqrt{st} \cos \theta + 4m\mu - s - t)} + \right. \\
&+ \left( \frac{s^{\frac{3}{2}} \sqrt{t} \beta \cos \theta}{2} + \frac{t^{\frac{3}{2}} \sqrt{s} \beta \cos \theta}{6} - \frac{t^2 \beta}{6} + tm - \frac{t\beta s}{6} + ms \right) e^{-\frac{\beta}{4m}(2\sqrt{st} \cos \theta + 8m\mu - 5s - t)} + \\
&+ \left( s^{\frac{3}{2}} \sqrt{t} \cos \theta + \frac{t^{\frac{3}{2}} \sqrt{s} \cos \theta}{3} + ts + \frac{t}{3} \right) \beta e^{-\frac{\beta}{4m}(2\sqrt{st} \cos \theta + 12m\mu - 3s - 3t)} + \\
&+ 2m(s+t) e^{\frac{\beta}{4m}(2\sqrt{st} - 12m\mu + 3s + 3t)} - m(s+t) e^{-\frac{\beta}{4m}(2\sqrt{st} \cos \theta + 4m\mu - s - t)} + \\
&+ \left( -\frac{s^{\frac{3}{2}} \cos \theta \sqrt{t} \beta}{2} - \frac{t^{\frac{3}{2}} \cos \theta \sqrt{s} \beta}{6} - \frac{t^2 \beta}{6} + tm - \frac{t\beta s}{6} + ms \right) e^{\frac{\beta}{4m}(2\sqrt{st} \cos \theta - 8m\mu + 5s + t)} + \\
&+ \left( \frac{s^{\frac{3}{2}} \sqrt{t} \beta \cos \theta}{2} + \frac{t^{\frac{3}{2}} \sqrt{s} \beta \cos \theta}{6} + \frac{t^2 \beta}{6} + tm + \frac{t\beta s}{6} + ms \right) e^{\frac{\beta}{4m}(2\sqrt{st} \cos \theta - 4m\mu + s + t)} + \\
&+ m(s+t) e^{\frac{\beta}{2m}(2\sqrt{st} \cos \theta - 4m\mu + s + t)} + \left( -\frac{t^2 \beta}{3} - \beta st + mt + ms \right) e^{\frac{\beta}{2m}(-6m\mu + 3s + t)} + \\
&+ \left( 2s^{\frac{3}{2}} \sqrt{t} \beta \cos \theta + \frac{2t^{\frac{3}{2}} \sqrt{s} \beta \cos \theta}{3} + \frac{t^2 \beta}{3} + ts\beta + tm + ms \right) e^{\frac{\beta}{2m}(-4m\mu + s + t)} + \\
&+ m(s+t) \left( e^{-\frac{\beta}{m}(m\mu - s)} + e^{\frac{\beta}{m}(-4m\mu + s + t)} \right) \Big) \times \\
&\times \left( 2\sqrt{t}(m\mu + 2s)^2 \left( e^{-\frac{\beta}{m}(m\mu - s)} + 1 \right) \left( e^{\frac{\beta}{4m}(2\sqrt{st} \cos \theta - 4m\mu + s + t)} + 1 \right)^2 \times \right. \\
&\times \left. \left( e^{-\frac{\beta}{4m}(2\sqrt{st} \cos \theta + 4m\mu - s - t)} + 1 \right)^2 \right)^{-1}. \tag{62}
\end{aligned}$$

## Список литературы

- [1] *Vasilev A. N.* The field theoretic renormalization group in critical behavior theory and stochastic dynamics. — Chapman & Hall/CRC, Boca Raton, FL, 2004. — Pp. xvi+681. — Translated from the 1998 Russian original by Patricia A. de Forerand-Millard and revised by the author. <https://doi.org/10.1201/9780203483565>.
- [2] Критическая динамика фазового перехода в сверхтекучее состояние / Ю. А. Жаворонков, М. В. Комарова, Ю. Г. Молотков, М. Ю. Налимов // *Theoret. and Math. Phys.* — 2019. <https://doi.org/10.4213/tmf9674>.
- [3] *Kadanoff L. P., Baym G.* Quantum Statistical Mechanics. — New York: W.A. Benjamin Inc., 1962.
- [4] *Keldysh L. V.* Diagram technique for nonequilibrium processes // *Sov. Phys. JETP.* — 1965. — Vol. 20. — P. 1018. — [Zh. Eksp. Theor. Fiz. **47**, 1515 (1964)].
- [5] *Арсеев П. И.* О диаграммной технике для неравновесных систем: вывод, некоторые особенности и некоторые применения // *Усп. физ. наук.* — 2015. — Vol. 185, no. 12. — Pp. 1271–1321. <https://ufn.ru/ru/articles/2015/12/b/>.
- [6] *Комарова М. В., Молотков Ю. Г., Налимов М. Ю.* Кинетическая теория бозонного газа // *Theoret. and Math. Phys.* — 2019. <https://doi.org/10.4213/tmf9675>.
- [7] *Ю Хонконен.* Контурно упорядоченные функции Грина в стохастической теории поля // *Theoret. and Math. Phys.* — 2013. <https://doi.org/10.4213/tmf8483>.
- [8] Квантово-полевая ренормгруппа в теории стохастической ленгмюровской турбулентности / Л. Ц. Аджемян, А. Н. Васильев, Ю. М. Письмак, М. Гнатич // *Theoret. and Math. Phys.* — 1989.
- [9] *Abrikosov A. A., Gor'kov L. P., Dzyaloshinskii I. E.* Quantum Field Theoretical Methods in Statistical Physics. — Oxford: Pergamon, 1965.

- [10] *Sulpizio J.A., Ella L., Rozen A. et al.* Visualizing Poiseuille flow of hydrodynamic electrons // *Nature*. — 2019. — P. 75–79. <https://doi.org/10.1038/s41586-019-1788-9>.
- [11] *Кунн Ф. М.* Статистическая Физика и Термодинамика. — Москва: Наука, 1981.
- [12] *Abricosov A. A.* Bases of the Metal Theory. — Moscow: Nauka, 1987.
- [13] *Mattuck R.* A Guide to Feynman Diagrams in the Many-Body Problem: Second Edition. — Courier Corporation, 2012.
- [14] *Боголюбов Н. Н., Ширков Д. В.* Введение в теорию квантованных полей. — Гос. изд-во технико-теорет. лит-ры, 1957.
- [15] *Фейнман Р.* Статистическая механика. — Гос. изд-во технико-теорет. лит-ры, 1978. — Пер. с англ./Под ред. Д. Н. Зубарева.
- [16] *Faddeev L. D., Slavnov A. A.* Gauge Fields. Introduction to quantum theory (2-nd edition). — Addison-Wesley Redwood City, 1991. — 217 pp.
- [17] *Schwinger Julian.* Brownian Motion of a Quantum Oscillator // *Journal of Mathematical Physics*. — 1961. — Vol. 2, no. 3. — Pp. 407–432. <https://doi.org/10.1063/1.1703727>.
- [18] *Vasil'ev A. N.* Functional Methods in Quantum Field Theory and Statistical Physics. — Amsterdam: Gordon and Breach, 1998.
- [19] *Wyld H. W.* // *Ann. Phys.* — 1961. — Vol. 14, no. 1. — Pp. 143–165.
- [20] *Hwa Rudolph C, Teplitz Vigdor L.* Homology and Feynman integrals. Mathematical physics monograph series. — New York, NY: Benjamin, 1966. <http://cds.cern.ch/record/102287>.
- [21] *Левитов Л., Шумов А.* Функции Грина. Задачи и решения. — ЛитРес, 2018.